

EM506 – Resistência dos Materiais II – Gabarito da Primeira Prova

Questão 1 (3,0 pontos): Para construir uma passarela de pedestres, um pedreiro usou a fôrma de madeira cuja seção transversal é mostrada na Figura 1, dentro da qual foi despejada a massa de concreto. Depois de seco o concreto, a fôrma seria destruída. Depois de refletir um pouco, o pedreiro achou que valeria a pena não destruir a fôrma, se ela ajudasse a reduzir a deflexão máxima da passarela em pelo menos 20% (em relação à passarela de concreto puro). Determine se vale ou não a pena manter a fôrma de madeira.

Se a passarela fosse construída de aço, a deflexão máxima seria dada por:

$$v_{\text{máx aço}} = q_0 L^4 / (6 \cdot E_{\text{aço}} I_{ZZ\text{aço}}), \text{ em que:}$$

$E_{\text{aço}}$ = módulo de elasticidade longitudinal do aço; $I_{ZZ\text{aço}}$ = momento de inércia da seção transversal de aço; q_0 = carregamento uniformemente distribuído sobre a passarela; L = comprimento da passarela.

Dados: $E_{\text{madeira}} = 70 \text{ MPa}$; $E_{\text{concreto}} = 100 \text{ MPa}$; $t = 2 \text{ cm}$; $h = 50 \text{ cm}$; $b = 1 \text{ m}$; $L = 10 \text{ m}$; $q_0 = 10 \text{ kN/m}$.

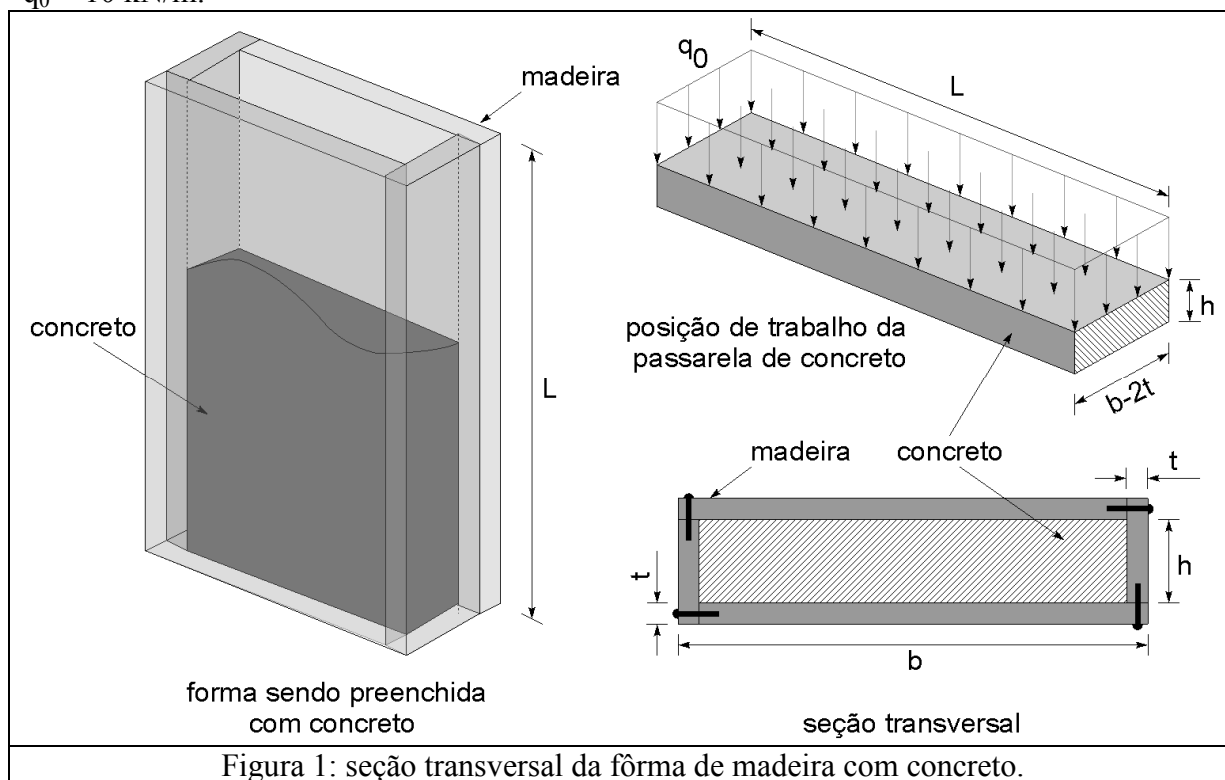


Figura 1: seção transversal da fôrma de madeira com concreto.

Solução

O problema consiste em comparar a deflexão máxima da viga de concreto puro com a viga “reforçada” pela fôrma de madeira. Como a expressão da deflexão máxima é dada pelo enunciado, a deflexão da viga de concreto é dada pela Eq. (1) e a da viga reforçada é dada pela Eq. (2).

$$v_{\text{máx concreto}} = \frac{q_0 L^4}{6 E_{\text{concreto}} I_{ZZ\text{concreto}}} \quad (1)$$

$$v_{\text{máx reforçada}} = \frac{q_0 L^4}{6EI_{ZZeq}} \quad (2)$$

A fôrma de madeira deve ser mantida se a flecha máxima se reduzir em pelo menos 20% em relação à viga de concreto, ou seja:

$$v_{\text{máx reforçada}} \leq 0,8 \cdot v_{\text{máx concreto}} \Rightarrow \frac{v_{\text{máx reforçada}}}{v_{\text{máx concreto}}} = \frac{\left(\frac{q_0 L^4}{6EI_{ZZeq}} \right)}{\left(\frac{q_0 L^4}{6E_{\text{concreto}} I_{ZZ\text{concreto}}} \right)} = \frac{E_{\text{concreto}} I_{ZZ\text{concreto}}}{EI_{ZZeq}} \leq 0,8 \quad (3)$$

a) Propriedades geométricas

$$I_{ZZ\text{concreto}} = \frac{1}{12} (b - 2t) h^3 = \frac{1}{12} (1 - 2 \cdot 0,02) (0,5)^3 = 10 \cdot 10^{-3} \text{ m}^4 \quad (4)$$

$$I_{ZZ\text{madeira}} = \frac{1}{12} b (h + 2t)^3 - \underbrace{\frac{1}{12} (b - 2t) h^3}_{I_{ZZ\text{concreto}}} = \frac{1}{12} 1 (0,5 - 2 \cdot 0,02)^3 - 10 \cdot 10^{-3} \text{ m}^4 = 3,1 \cdot 10^{-3} \text{ m}^4 \quad (5)$$

$$EI_{ZZeq} = E_{\text{madeira}} I_{ZZ\text{madeira}} + E_{\text{concreto}} I_{ZZ\text{concreto}} - y_0 (E_{\text{madeira}} Q_{Z\text{madeira}} + E_{\text{concreto}} Q_{Z\text{concreto}}) \quad (6)$$

Devido à distribuição de materiais, a posição da linha neutra coincide com o centro geométrico, isto é, $y_0 = 0$.

$$\begin{aligned} \therefore EI_{ZZeq} &= E_{\text{madeira}} I_{ZZ\text{madeira}} + E_{\text{concreto}} I_{ZZ\text{concreto}} = \\ &= (70 \cdot 10^6 \text{ Pa} \times 10 \cdot 10^{-3} \text{ m}^4) + (100 \cdot 10^6 \text{ Pa} \times 3,1 \cdot 10^{-3} \text{ m}^4) = 1,2185 \cdot 10^6 \text{ m}^2 \end{aligned} \quad (7)$$

b) Decisão de projeto

Da Eq. (3), tem-se então:

$$\frac{E_{\text{concreto}} I_{ZZ\text{concreto}}}{EI_{ZZeq}} = 0,8207 > 0,8 \quad (8)$$

Ou seja, a fôrma de madeira reduz a deflexão máxima da passarela em apenas 17,93% em relação à passarela de concreto puro. Assim, segundo o critério do pedreiro, a fôrma deve ser removida.

EM506 – Resistência dos Materiais II – Gabarito da Primeira Prova

Questão 2 (4,0 pontos): Uma viga bi-apoiada é sujeita a um carregamento concentrado P em sua extremidade. A viga é construída a partir de três peças ligadas por três pinos, conforme a seção transversal mostrada na Figura 2. Todos os pinos utilizados têm área A_p , resistem a uma tensão de cisalhamento τ_p , e estão espaçados entre si por uma distância L_p ao longo do eixo x . Identifique, entre os pinos (A) ou o pino (B), qual está sujeito ao maior esforço cisalhante, e determine o espaçamento L_p máximo em função dos demais parâmetros do problema. Admita que o espaçamento entre os pinos deva ser o mesmo ao longo de toda a viga.

Dados: As dimensões da viga e de sua seção transversal estão mostradas na figura.

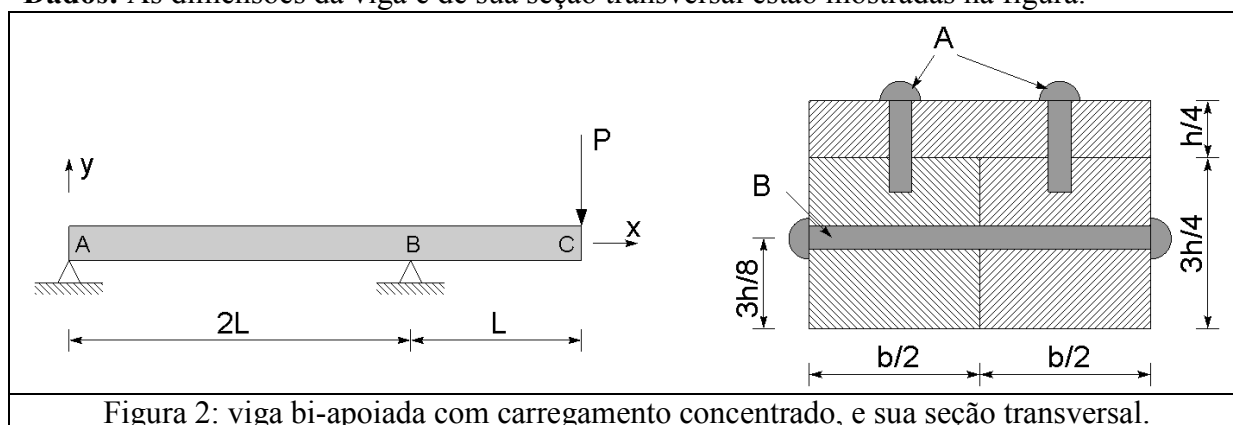


Figura 2: viga bi-apoiada com carregamento concentrado, e sua seção transversal.

Solução

Claramente, o pino (B) não está sujeito a cisalhamento. Assim, o máximo cisalhamento ocorre nos pinos (A). O fluxo de cisalhamento neles é dado por:

$$q_c(x, y) = -\frac{V_Y(x)}{I_{ZZ}(x)} Q_{Zp}(y) \quad (1)$$

Para que a construção esteja em equilíbrio (as peças não se desmontem), é necessário que a força tangencial atuando no pino, dada por $q_c(x, y) \cdot L_p$ seja menor ou igual à força tangencial que os pinos suportam juntos, $F_T = \tau_p \cdot 2A_p$, em que A_p é a área de um pino:

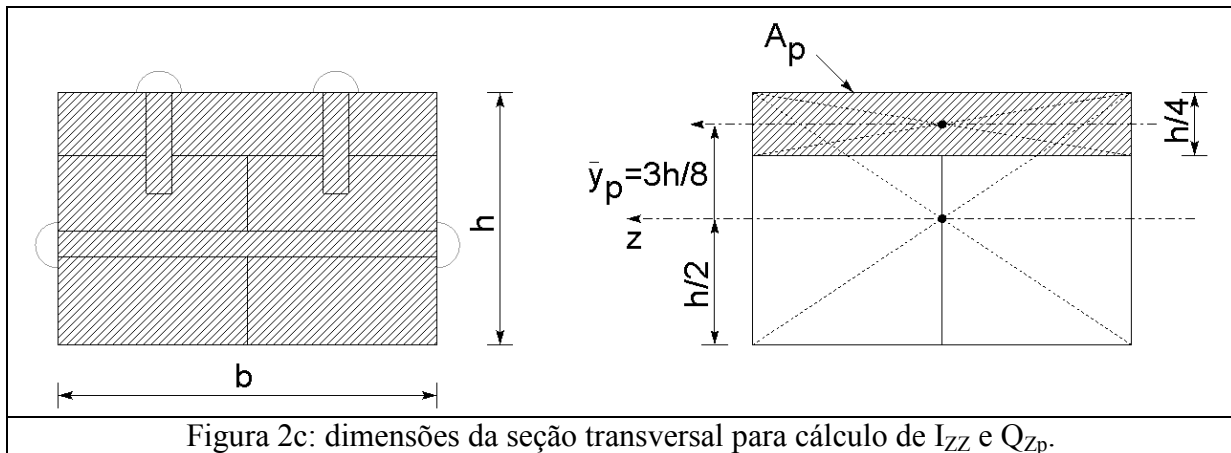
$$q_c(x, y) \cdot L_p = \left[-\frac{V_Y(x)}{I_{ZZ}(x)} Q_{Zp}(y) \right] \cdot L_p \leq \tau_p 2A_p \quad (2)$$

$$L_p \leq \frac{2I_{ZZ}(x) \tau_p A_p}{Q_{Zp}(y) \cdot V_{Y\max}} \quad (3)$$

Com ajuda da Figura 2b, pode-se determinar o momento de inércia da seção, $I_{ZZ}(x)$, e o momento estático parcial $Q_{Zp}(y)$ a que a Eq. (1) se refere.

$$Q_{Zp}(y) = A_p \cdot \bar{y}_p = \underbrace{\left[b \frac{h}{4} \right]}_{A_p} \underbrace{\left[\frac{3}{8} h \right]}_{\bar{y}_p} = \frac{3}{32} b h^2 \quad (4)$$

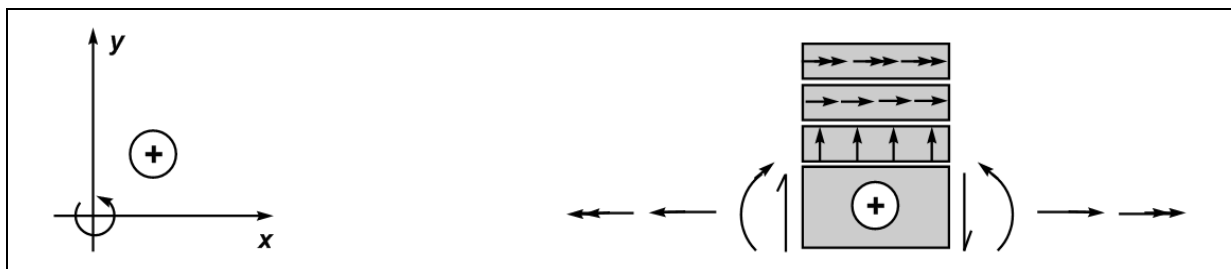
$$I_{zz}(x) = \frac{1}{12} b \cdot h^3 \quad (5)$$



b) Solução do problema da viga

Determinando o máximo esforço cortante atuando na viga:

b1) Eixos e convenções



b2) Equação Diferencial

$$\frac{d^2}{dx^2} M_z(x) = q(x) \quad (b1)$$

b3) Equação de carregamento

$$q(x) = +R_{yB} \langle x - 2L \rangle^{-1} \quad (b2)$$

b4) Condições de Contorno

$$M_z(x = 0) = 0 \quad (b3)$$

$$M_z(x = 3L) = 0 \quad (b4)$$

$$V_y(x = 3L) = +P \quad (b5)$$

b5) Integração da equação diferencial

Substitui-se (b2) em (b1) para se obter

$$\frac{d^2}{dx^2} M_Z(x) = +R_{YB} \langle x - 2L \rangle^{-1}$$

$$\downarrow \int$$

$$\frac{d}{dx} M_Z(x) = V_Y(x) = +R_{YB} \langle x - 2L \rangle^0 + C_1 \quad (b6)$$

$$\downarrow \int$$

$$M_Z(x) = +R_{YB} \langle x - 2L \rangle^1 + C_1 x + C_2 \quad (b7)$$

b6) Determinação das incógnitas e constantes de integração

Aplicando (b3) em (b7), tem-se:

$$M_Z(x=0) = + \underbrace{R_{YB} \langle x - 2L \rangle^1}_{=0} + C_1 \cdot 0 + C_2 = 0$$

$$\Rightarrow C_2 = 0 \quad (b8)$$

Aplicando (b5) em (b6), tem-se:

$$V_Y(x=3L) = +R_{YB} \underbrace{\langle 3L - 2L \rangle^0}_{=1} + C_1 = +P$$

$$\Rightarrow C_1 = +P - R_{YB} \quad (b9)$$

Aplicando (b4) e (b8) em (b7), tem-se:

$$M_Z(x=3L) = +R_{YB} (3L - 2L) + C_1 \cdot 3L = 0$$

$$\Rightarrow C_1 = -\frac{1}{3} R_{YB} \quad (b10)$$

De (b9) em (b10), tem-se que:

$$R_{YB} = +\frac{3}{2} P \quad (b11)$$

7) Equações finais

Substitui-se (b8) a (b11) em (b6) e (b7) para se obter a equação final do esforço cortante e momento fletor:

$$V_Y(x) = +\frac{3}{2} P \langle x - 2L \rangle^0 - \frac{1}{2} P \quad (b12)$$

$$M_z(x) = +\frac{3}{2}P\langle x - 2L \rangle^1 - \frac{1}{2}Px \quad (\text{b13})$$

8) Diagramas de esforços internos

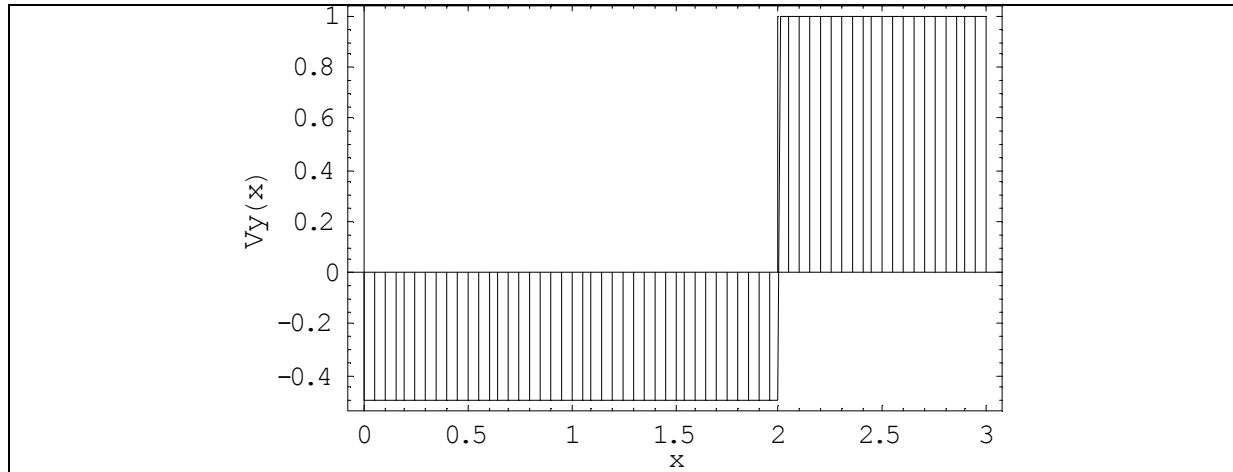


Figura 2c: diagrama de esforço cortante (exemplo para $L=1\text{m}$ e $P=1\text{N}$).

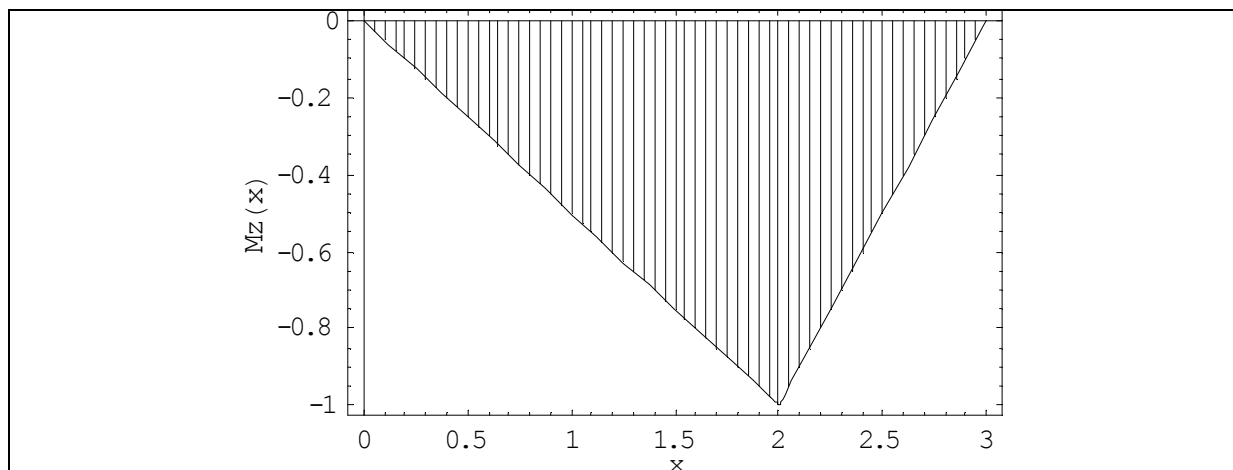


Figura 2d: diagrama de momento fletor (exemplo para $L=1\text{m}$ e $P=1\text{N}$).

O trecho sujeito ao maior esforço cortante é o trecho $2L < x < 3L$, no qual $V_Y(x) = P$. Assim, substituindo (4) e (5) em (3), tem-se:

$$L_p \leq \frac{2I_{zz}(x)\tau_p A_p}{Q_{zp}(y) \cdot V_{Y\text{máx}}} = \frac{2\tau_p A_p}{V_{Y\text{máx}}} \underbrace{\frac{h^3}{12}}_{I_{zz}} \underbrace{\frac{32}{3h^3}}_{1/Q_{zp}} = \frac{16}{9} \frac{\tau_p A_p h}{P} \quad (6)$$

$$\boxed{L_p \leq \frac{16}{9} \frac{\tau_p A_p h}{P}} \quad (7)$$

EM506 – Resistência dos Materiais II – Gabarito da Primeira Prova

Questão 3 (3,0 pontos): Uma placa fina é construída por meio de duas peças coladas de mesmo material (Figura 3a). A placa é submetida a um estado plano e homogêneo de tensões ($\sigma_3 = 0$) no qual forças uniformemente distribuídas F_1 e F_2 de tração são aplicadas às suas faces (Figura 3b). Desenhe o Círculo de Mohr deste problema.

- Determine qual deve ser sua resistência mínima a cisalhamento e tração que a cola deve apresentar para garantir que o material falhe antes da cola;
- Descreva as observações experimentais em que von Mises se baseou para formular seu critério de falha. Ilustre sua descrição com exemplos e desenhos.

Dados: O material falha segundo o critério de Tresca.

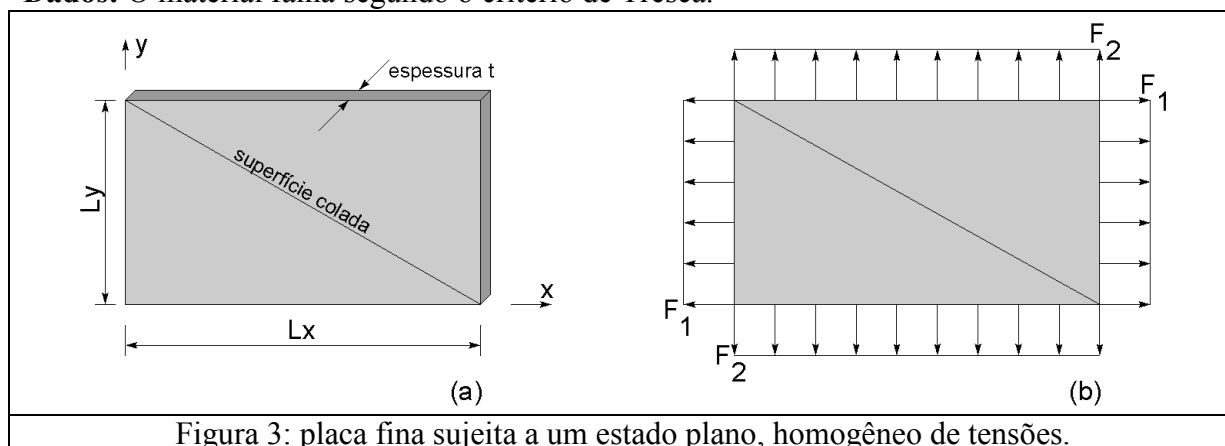


Figura 3: placa fina sujeita a um estado plano, homogêneo de tensões.

Solução

O estado de tensões original, mostrado pela Figura 3, corresponde ao plano principal. Podemos concluir isso porque não há tensões de cisalhamento atuando neste estado de tensões. Assim, tem-se que:

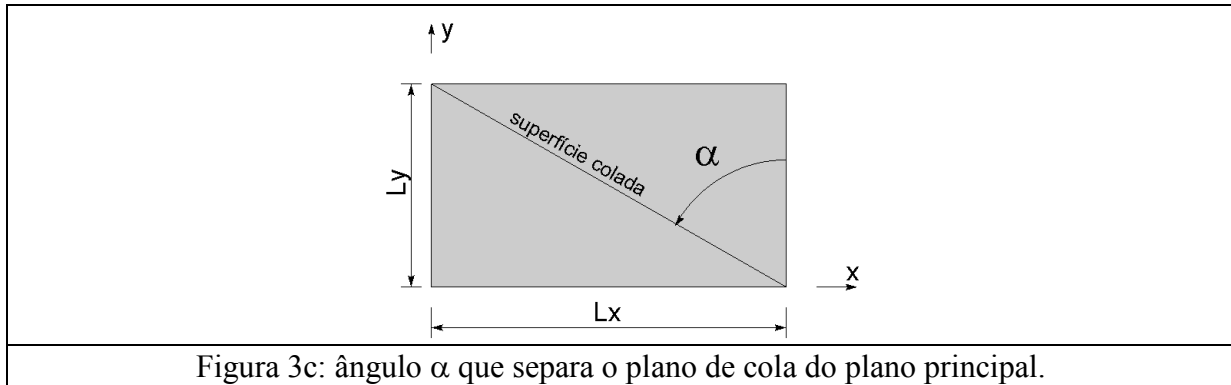
$$\sigma_1 = \sigma_{xx} = \frac{F_1}{A_x} = \frac{F_1}{L_y \cdot t} \quad (1)$$

$$\sigma_2 = \sigma_{yy} = \frac{F_2}{A_y} = \frac{F_2}{L_x \cdot t} \quad (2)$$

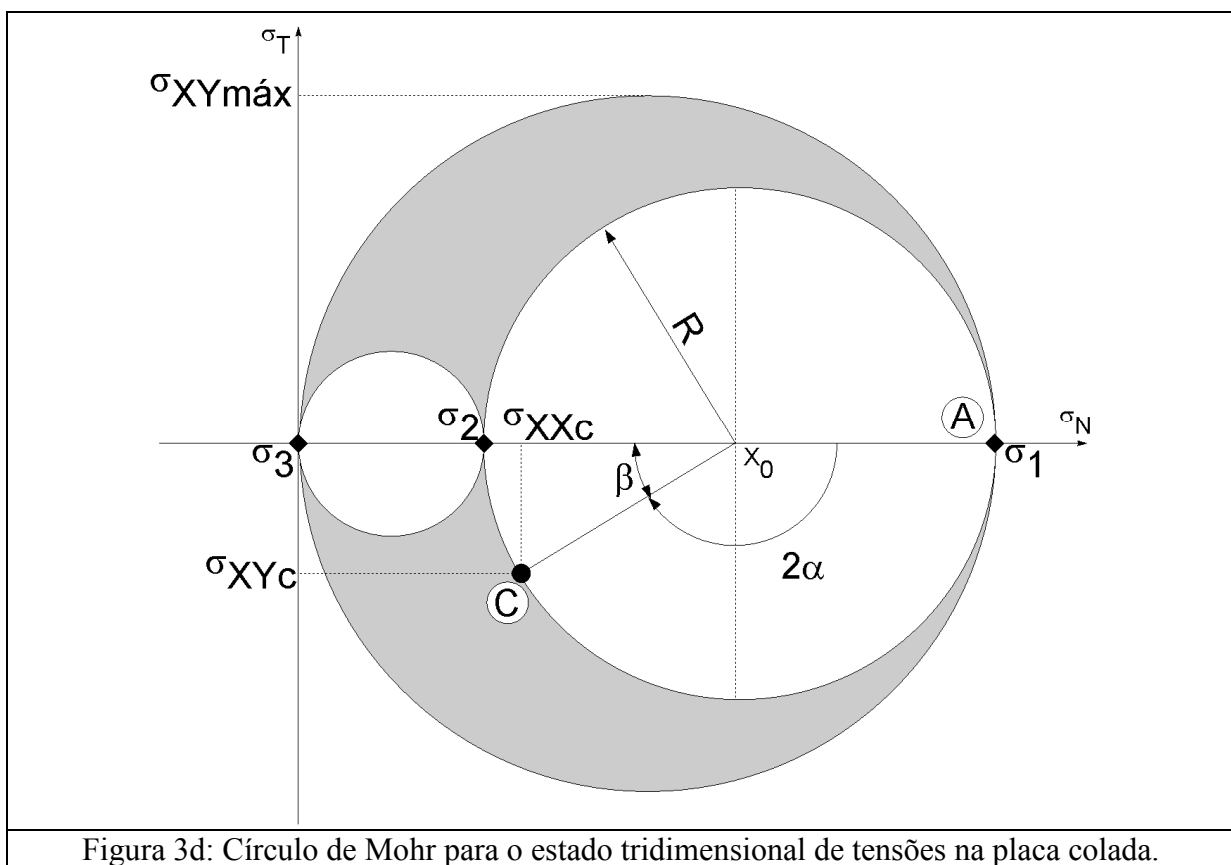
Além disso, o plano de cola está situado em um ângulo α do plano principal, no sentido anti-horário (Figura 3c).

Este ângulo pode ser calculado por:

$$\alpha = \arctan\left(\frac{L_x}{L_y}\right) \quad (3)$$



O enunciado afirma que se trata de um estado plano de tensões ($\sigma_3 = 0$). Com isso, o Círculo de Mohr para este problema se torna:



O ponto (A) marca o estado original de tensões. Se a partir desse estado encontra-se o plano de cola em um ângulo α em sentido anti-horário (Figura 3c), a partir desse estado encontra-se o plano de cola (C) no Círculo de Mohr em um ângulo 2α no sentido horário (Figura 3d). O ângulo β é dado por:

$$\beta = 180^\circ - 2\alpha = 180^\circ - 2 \arctan \left(\frac{L_x}{L_y} \right) \quad (4)$$

As tensões normais σ_{XXc} e de cisalhamento σ_{XYc} atuando na cola são dadas por simples trigonometria a partir da Figura 3d:

$$\sigma_{XXc} = x_0 - R \cos(\beta) \quad (5)$$

$$\sigma_{XYc} = -R \sin(\beta) \quad (6)$$

Nas quais (observe a Figura 3d):

$$x_0 = \frac{\sigma_1 + \sigma_2}{2} \quad (7)$$

$$R = \frac{\sigma_1 - \sigma_2}{2} \quad (8)$$

Assim, tem-se:

$$\sigma_{XXc} = \frac{\sigma_1 + \sigma_2}{2} - \left(\frac{\sigma_1 - \sigma_2}{2} \right) \cos \left(180^\circ - 2 \arctan \left(\frac{L_X}{L_Y} \right) \right) \quad (9)$$

$$\sigma_{XYc} = - \left(\frac{\sigma_1 - \sigma_2}{2} \right) \sin \left(180^\circ - 2 \arctan \left(\frac{L_X}{L_Y} \right) \right) \quad (10)$$

$$\sigma_{XXc} = \frac{1}{2} \left\{ \frac{F_1}{L_Y \cdot t} + \frac{F_2}{L_X \cdot t} \right\} - \frac{1}{2} \left\{ \frac{F_1}{L_Y \cdot t} - \frac{F_2}{L_X \cdot t} \right\} \cos \left(180^\circ - 2 \arctan \left(\frac{L_X}{L_Y} \right) \right) \quad (11)$$

$$\sigma_{XYc} = - \frac{1}{2} \left\{ \frac{F_1}{L_Y \cdot t} - \frac{F_2}{L_X \cdot t} \right\} \sin \left(180^\circ - 2 \arctan \left(\frac{L_X}{L_Y} \right) \right) \quad (12)$$

O Círculo de Mohr referente ao estado de tensão que causa falha no material é semelhante ao da Figura 3d. Nesta situação, o material falha porque a tensão $\sigma_{XY\text{máx}}$ foi atingida. Mesmo nessa situação, as tensões na cola continuam sendo expressas pelas Eq. (11) e (12). Se a resistência da cola foi igual ou superior a esses valores, o material falhará antes da cola.

b) Critério de von Mises

Quando submetido a um estado de tensão, um material se dilata e se distorce até que ocorra a falha. A energia de deformação armazenada pode ser definida como a soma de uma parcela de energia de dilatação e outra de energia de distorção. O material suporta tensões muito maiores que as de falha se devido ao estado de tensão o material somente se dilatar, sem se distorcer.

Von Mises se baseou nessa evidência experimental para concluir que a falha dos materiais não ocorre por causa da energia de dilatação, e sim por causa da energia de distorção.

Um exemplo típico é a comparação entre os ensaios de compressão pura, em que há distorção – o corpo de prova se contrai e se distorce – e o ensaio de pressão hidrostática, em que há somente dilatação – o material somente muda de volume, e não de forma. No ensaio de pressão hidrostática, o material suporta uma tensão de compressão muito maior do que aquela com que falhou no ensaio de compressão.

